CTAO報告247: CTAO大口径望遠鏡向け光電子増倍管における アフターパルス減少の測定

UTokyo

CTAO



JPS meeting,

CTAO report 247:

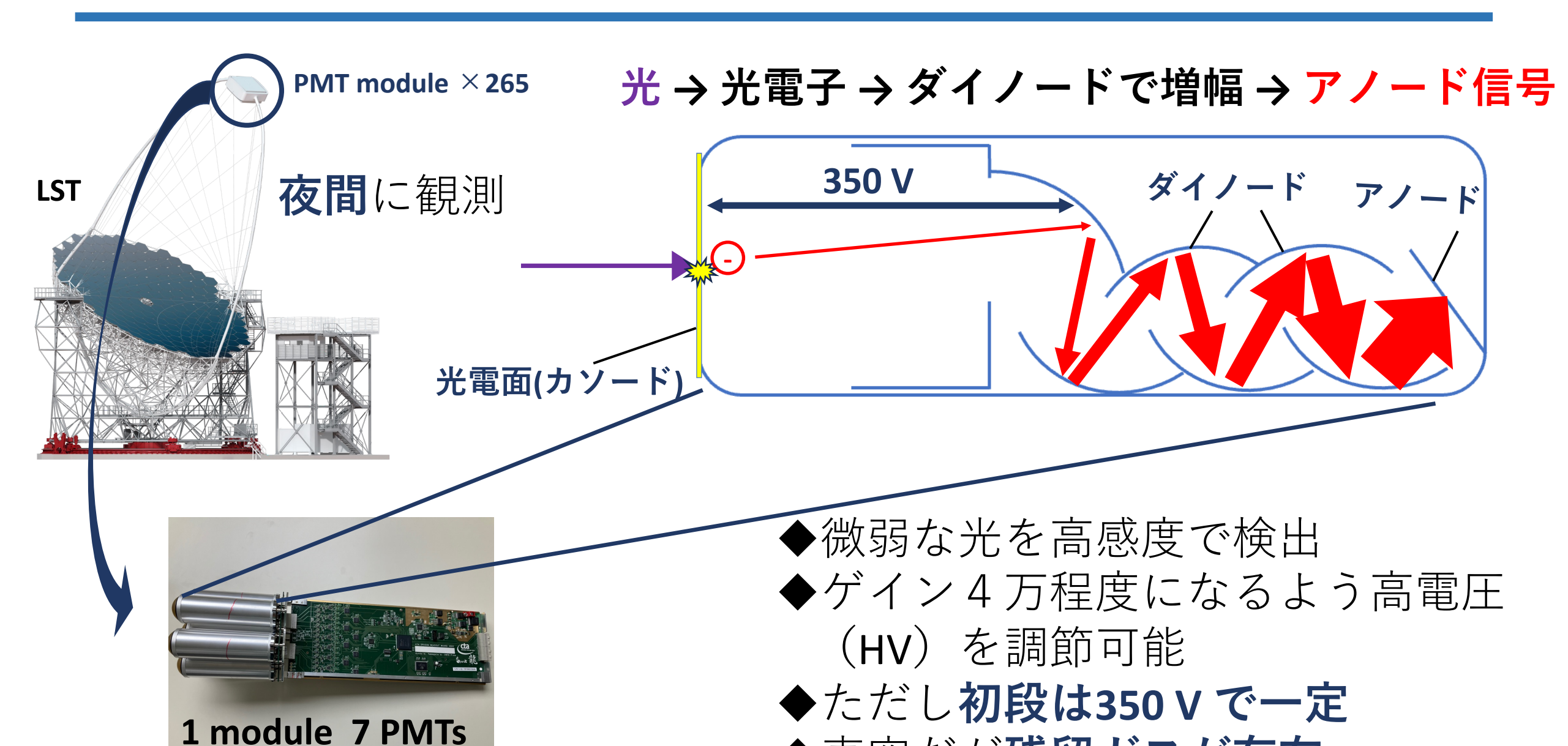
Measurement of Afterpulse Reduction in Photomultiplier Tubes for the CTAO LST

森田開

猪目祐介, 大岡秀行, Habib Ahammad Mondal, 窪秀利, 齋藤隆之, 櫻井駿介, 高橋光成A, 野崎誠也, 山本常夏B, 他 CTAO-Japan Consortium

東大宇宙線研,名古屋大宇宙地球環境研⁴,甲南大理工[®] September 2025, at Hiroshima

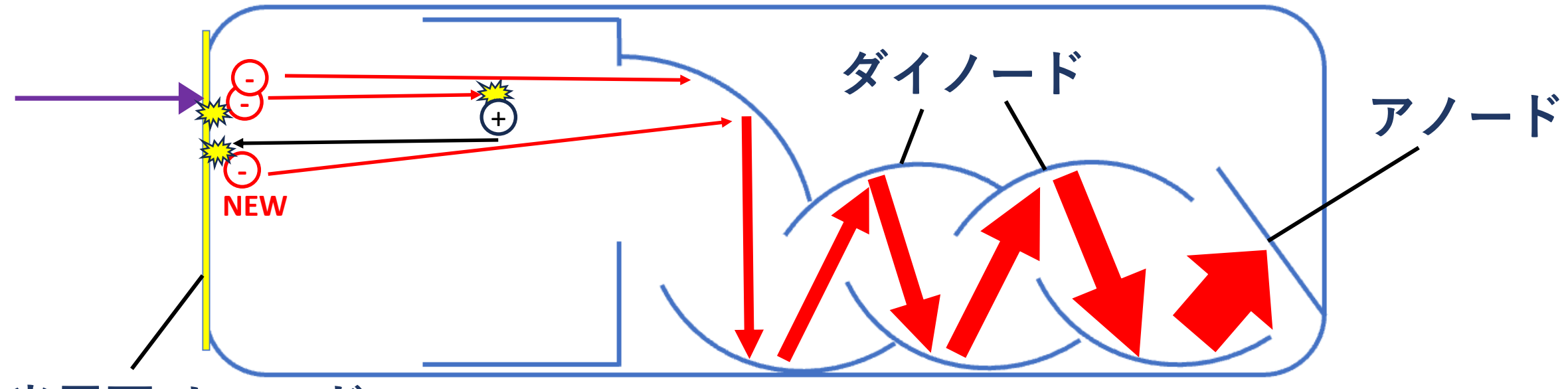
CTAO 大口径望遠鏡の 光電子増倍管 (PMT)



◆真空だが**残留ガスが存在**

アフターパルスの原理

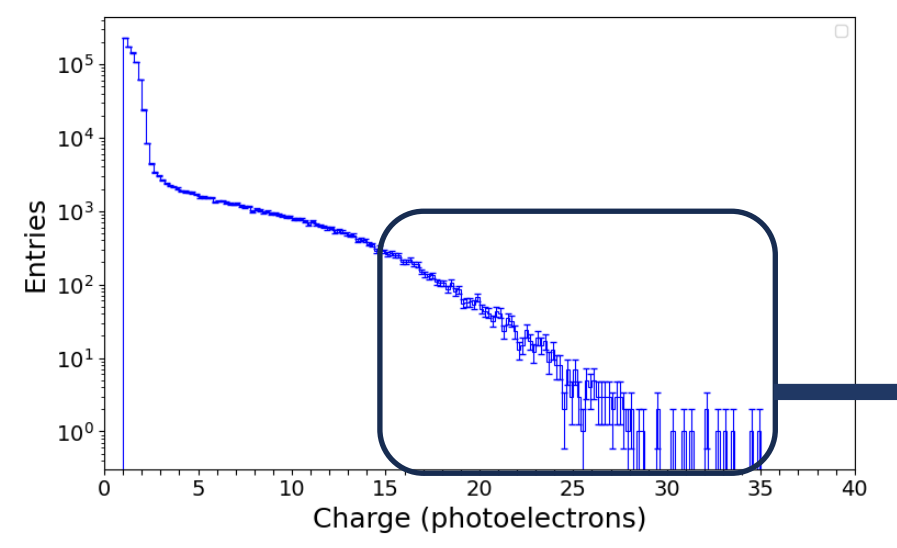
- アフターパルス: 入射光によるパルス信号の後に生じるパルス
 - ① 光電面で光電子が生成され、アノードに向けて加速
 - ②PMT内の残留ガスに衝突しイオン化
 - ③生成された陽イオンがカソードに向けて加速
 - ④ 光電面で新たに電子を生成
 - ⑤パルスとして現れる



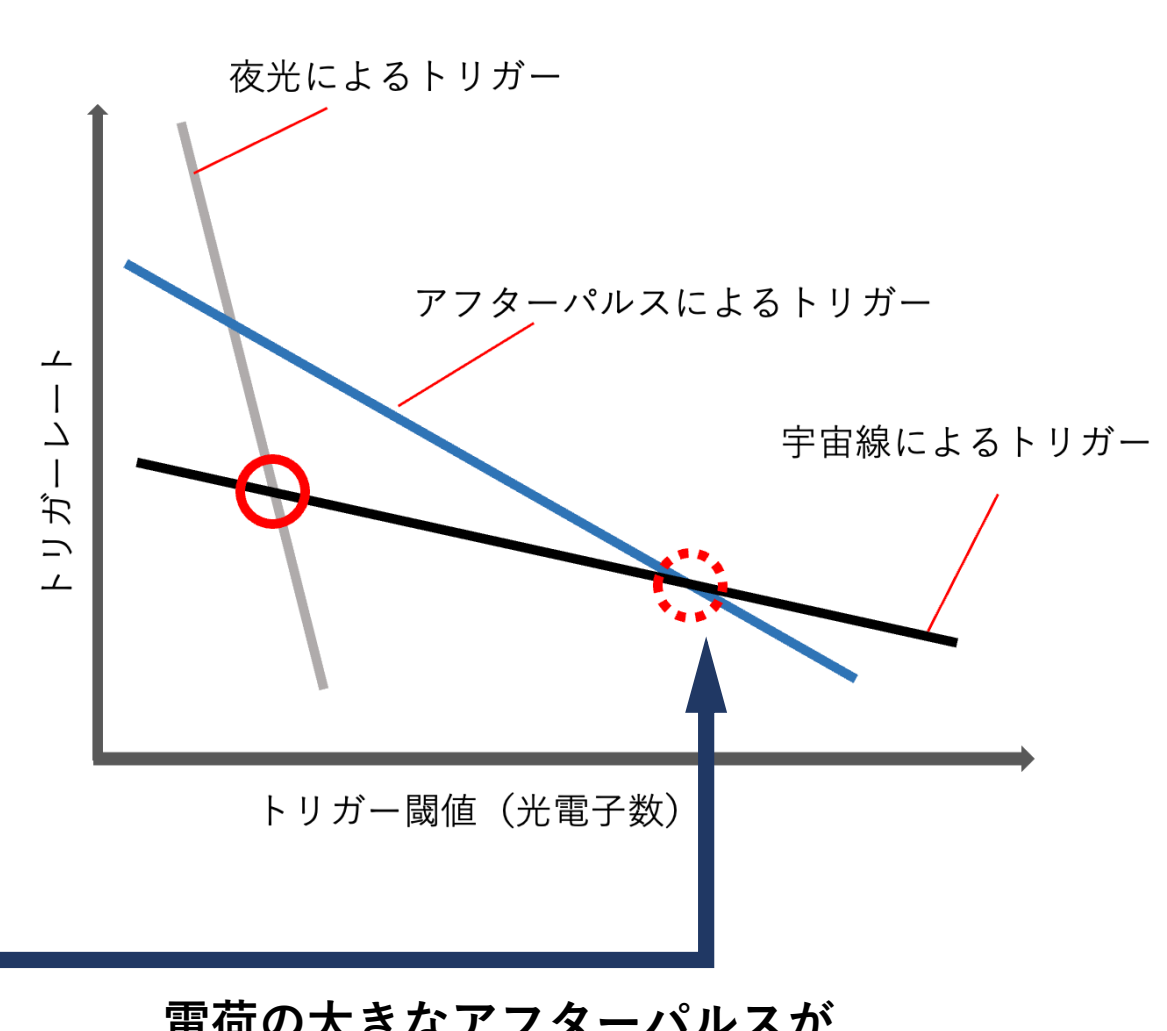
光電面(カソード)

アフターパルスが及ぼす観測への影響

- 夜間の観測中には250 MHz 程度の夜光 がPMTに照射しアフターパルス生成
- アフターパルスや夜光は観測の バックグラウンド要因
- アフターパルス発生確率大→トリガー閾値増加
 - →観測されるエネルギーの下限値が増加



アフターパルスの電荷分布



電荷の大きなアフターパルスが トリガー閾値に影響

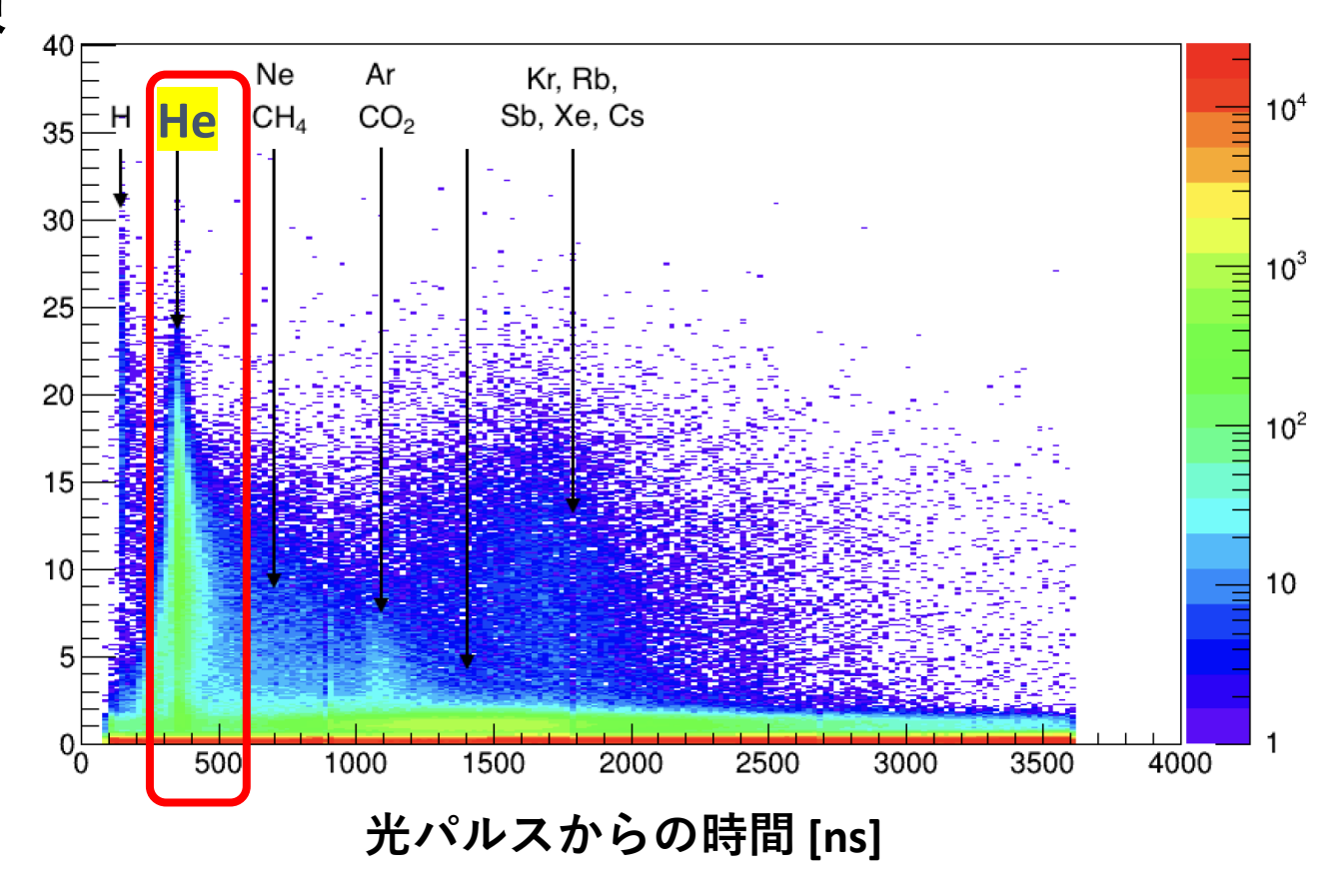
アフターパルスの到来時間とイオン種

■ PMTにレーザーパルスを照射する実験

アフターパルスの**到来時間:** イオンの質量と電荷依存

→イオン種を推定

- 光によるパルスから約3µsまで分布
- アフターパルスを起こすのは主にHe

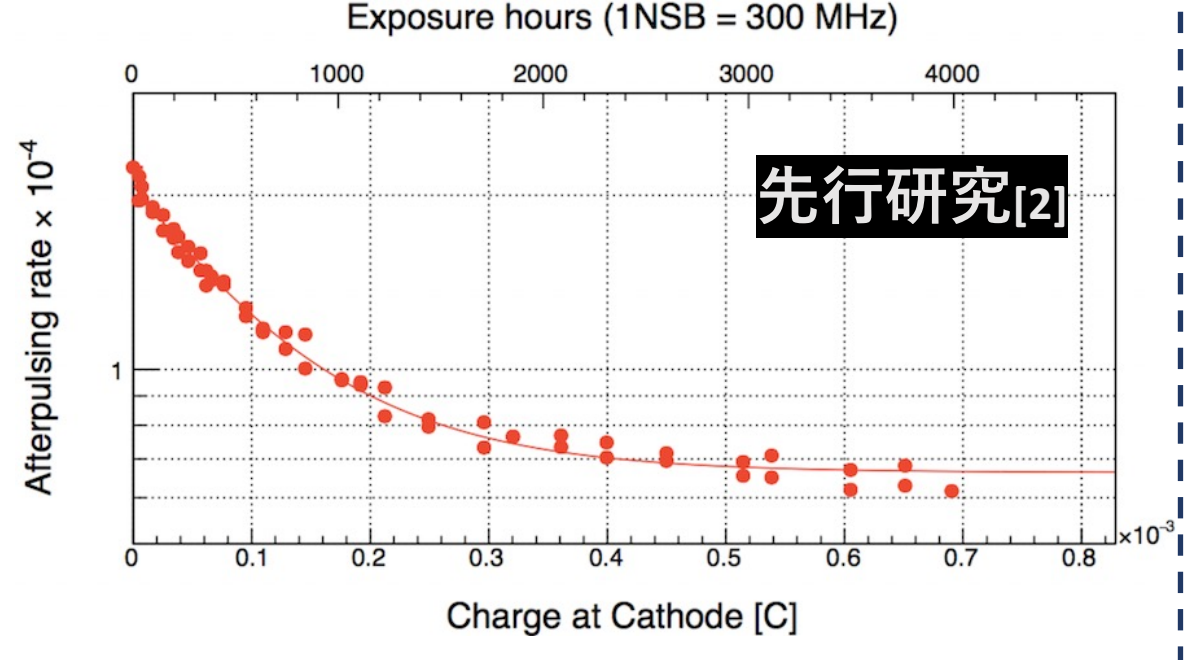


アフターパルスの到来時間分布回

実験背景・目的

先行研究[2]:

PMTに長期間の**LED**照射 & **HV**印加するとアフターパルス発生確率**減少**

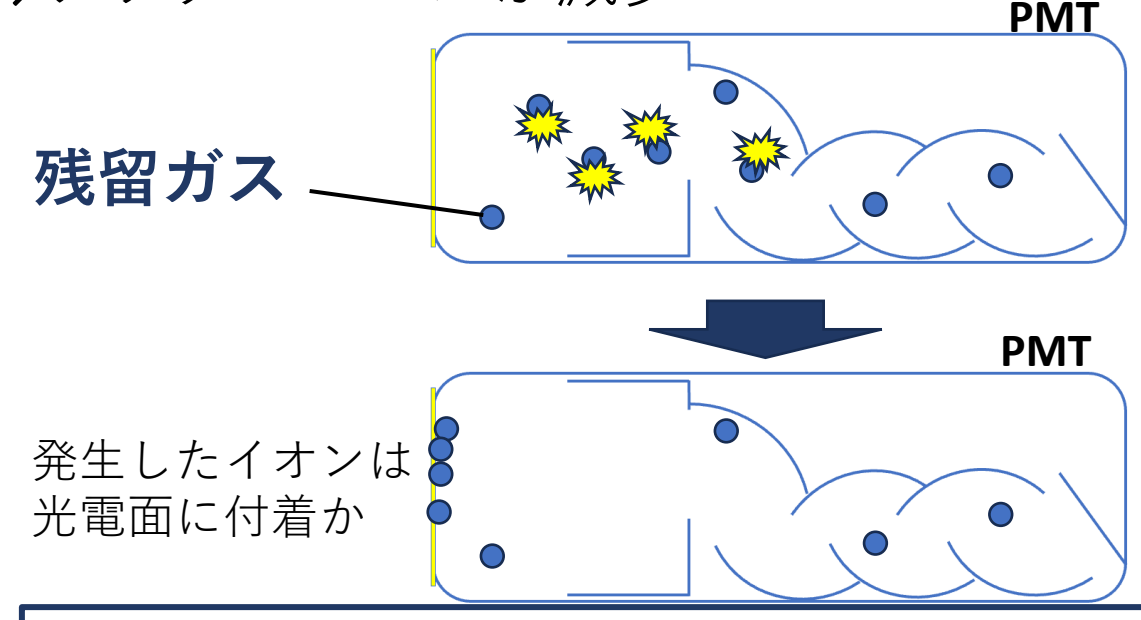


アフターパルス発生確率の変化

指数関数的に減少後、一定値に漸近

;仮説:

╏イオン化による残留ガス(主にHe)の減少 よ→アフターパルスが減少

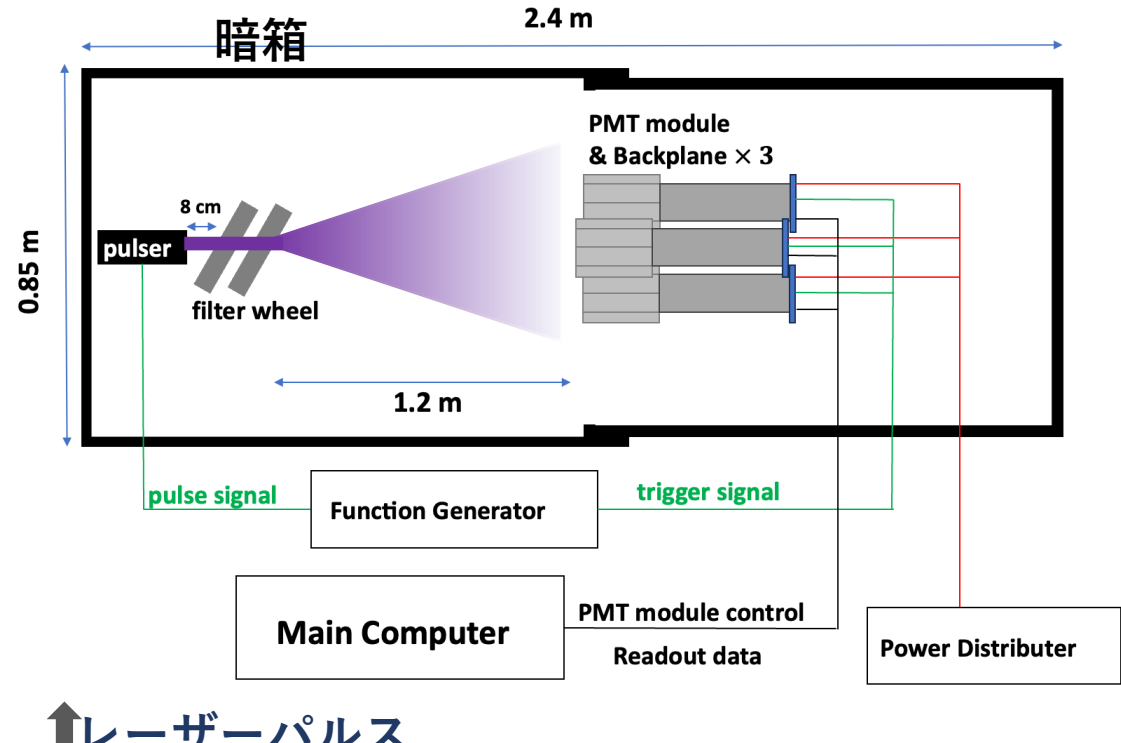


研究目的:

- 長期測定によりアフターパルス減少に おける光照射と高電圧依存性の確認
- アフターパルス発生確率変化の支配要 因の特定

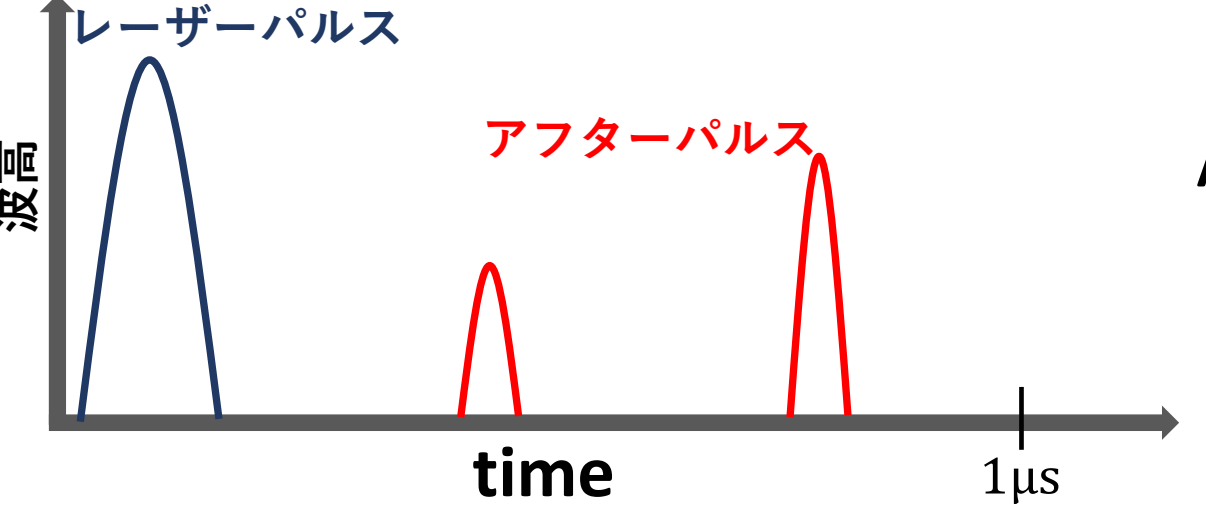
[2] 櫻井駿介 Master's thesis. 東京大学. 2017, 埼玉大学永吉氏測定

アフターパルス測定方法



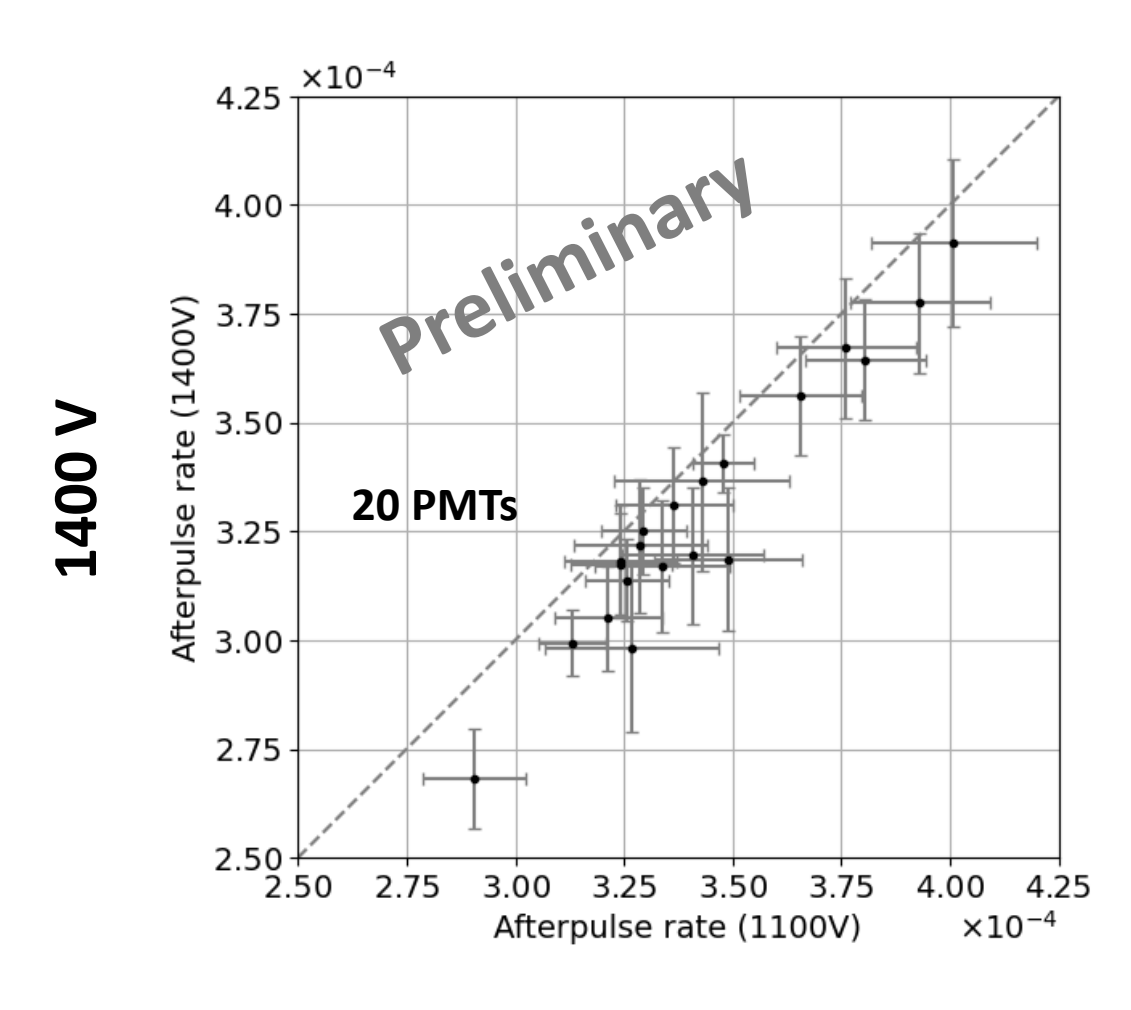
LST2-4用のPMTを使用(実機では未使用)

- ① PMTにHVを印加
- ② レーザーパルスをPMTに照射 (10万イベント)
- ① 波形を取得(約1µs)
- ② レーザーパルスの光電子数計算
- ③ アフターパルスの発生回数を計算



結果1 アフターパルス測定時のHVと発生確率

アフターパルス測定時のHV依存性を調査



- 全 PMTでLSTの要求値(2.0×10⁻⁴)より高い 発生確率
- 測定時のHVによるアフターパルス発生確率 の差は小さい

1100 V

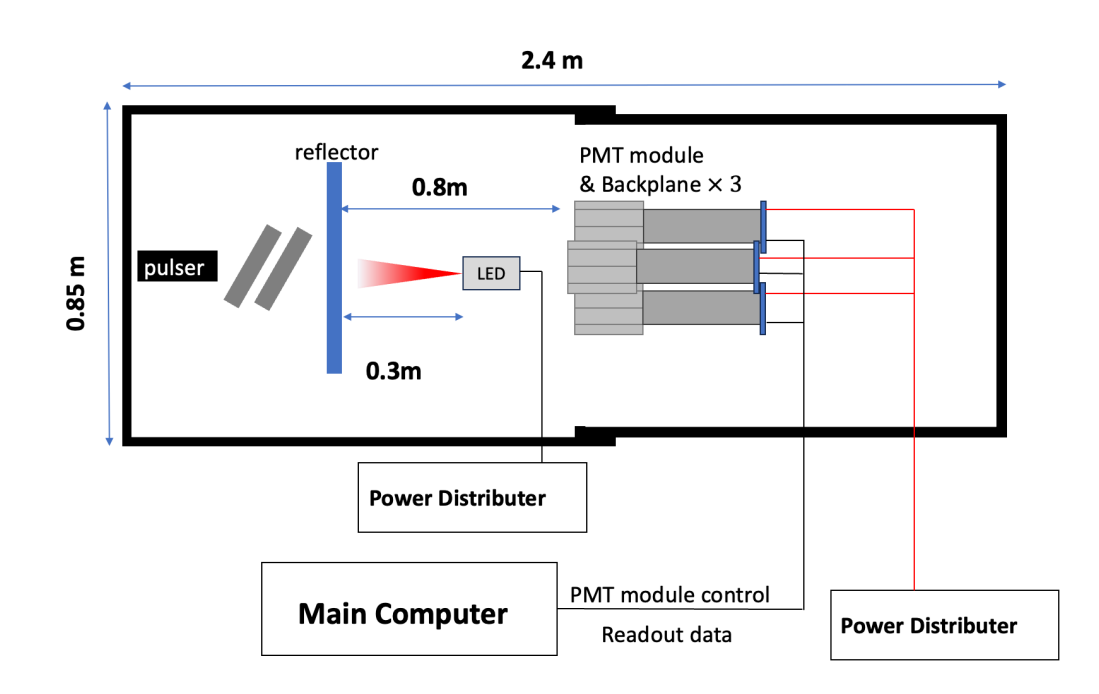
長期測定手法

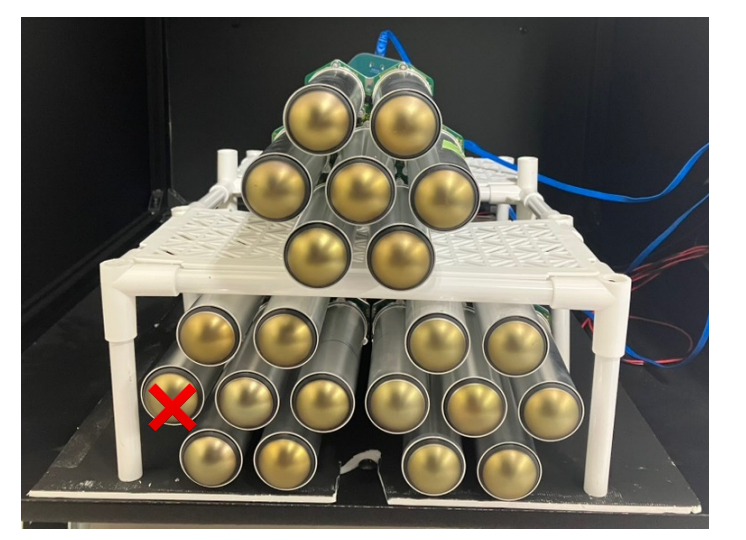
- PMTを異なるLED・HV条件で約3週間運転 ※昼夜問わずPMTの条件を変えず運転
- アフターパルス発生確率を毎日測定し変化 を見る

※AP測定時のみ全PMTでLEDはOFF、HVは1100 V

PMTの条件

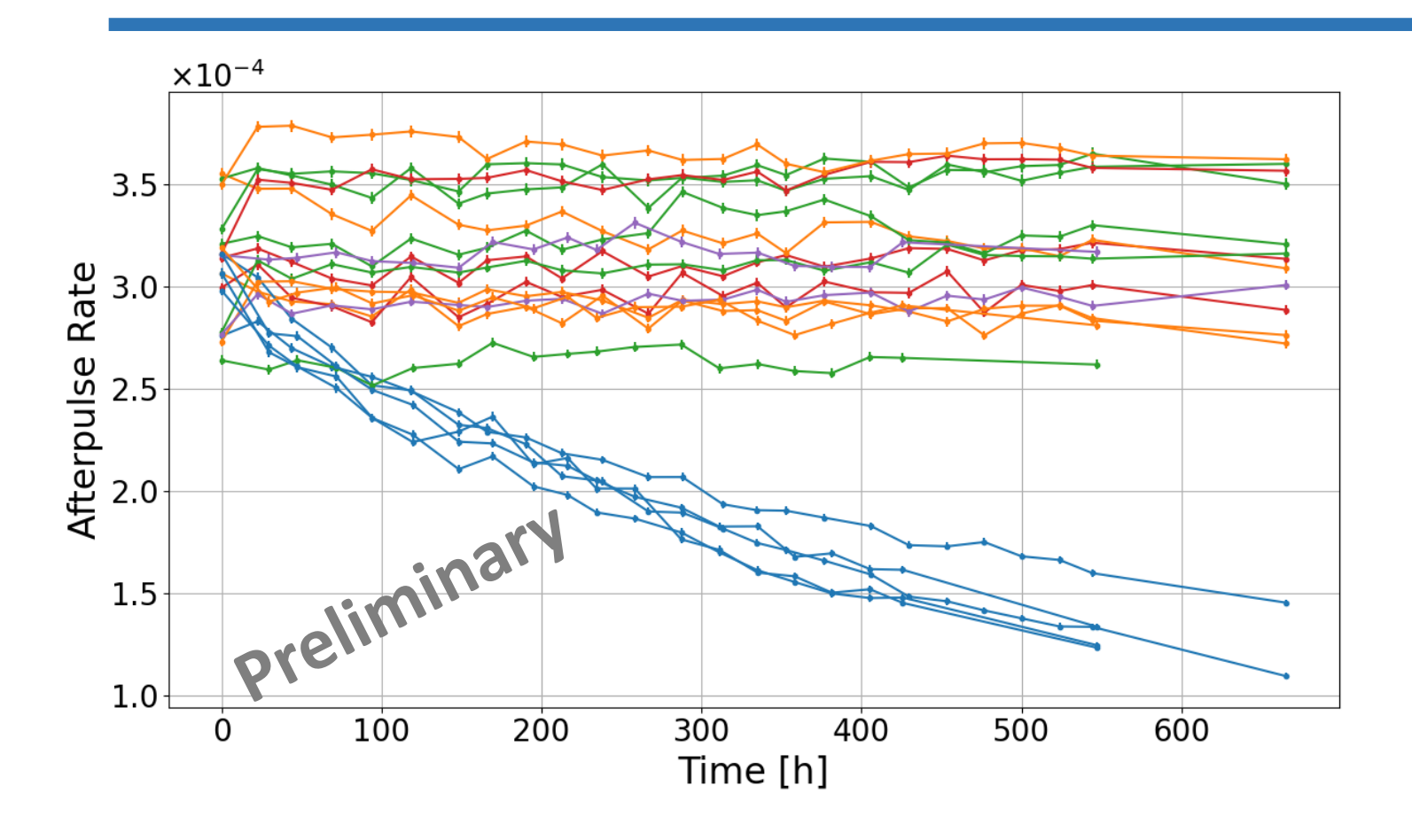
	LED (約2.5 GHz)	HV [V]	本数
PMT group1	ON	1100	5
PMT group2	ON	750	5
PMT group3	ON	0	5
PMT group4	OFF	1100	3
PMT group5	OFF	0	2





PMT計20本使用

結果2 アフターパルス発生確率の時間変化



PMTの条件

	LED	HV [V]
group1	ON	1100
group2	ON	750
group3	ON	0
group4	OFF	1100
group5	OFF	0

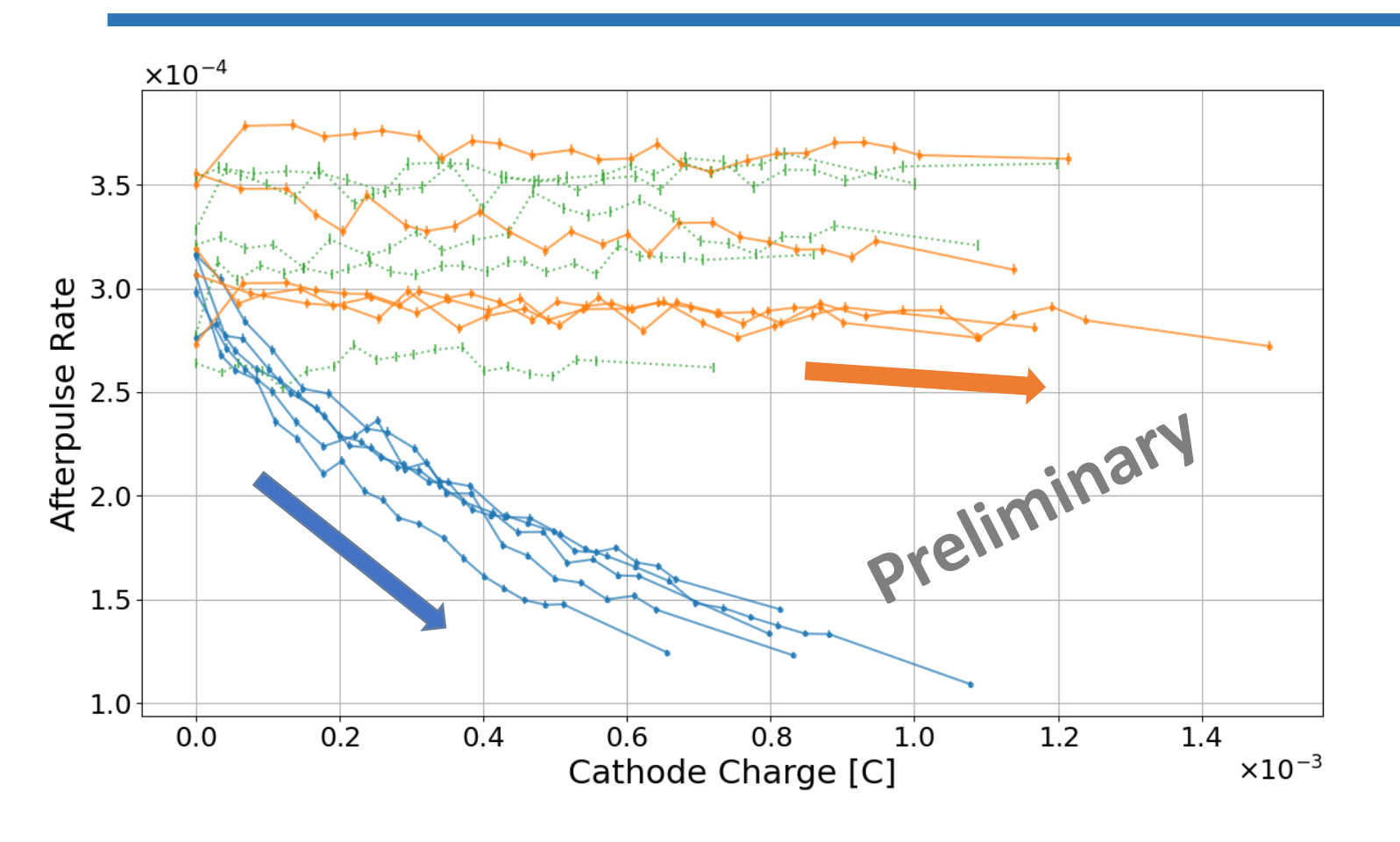
PMTの平均ゲイン

1100 V: $\sim 2.7 \times 10^4$

750 V : $\sim 2.3 \times 10^3$

■ LED ON, HV 1100 V のPMTのみ明らかに減少(初期値の約半分) →APの減少には光電面への光の照射とHVの両方が必要

結果3 アフターパルス発生確率 vs 積算カソード電流



PMTの条件

	LED	HV [V]
group1	ON	1100
group2	ON	750
group3	ON	0

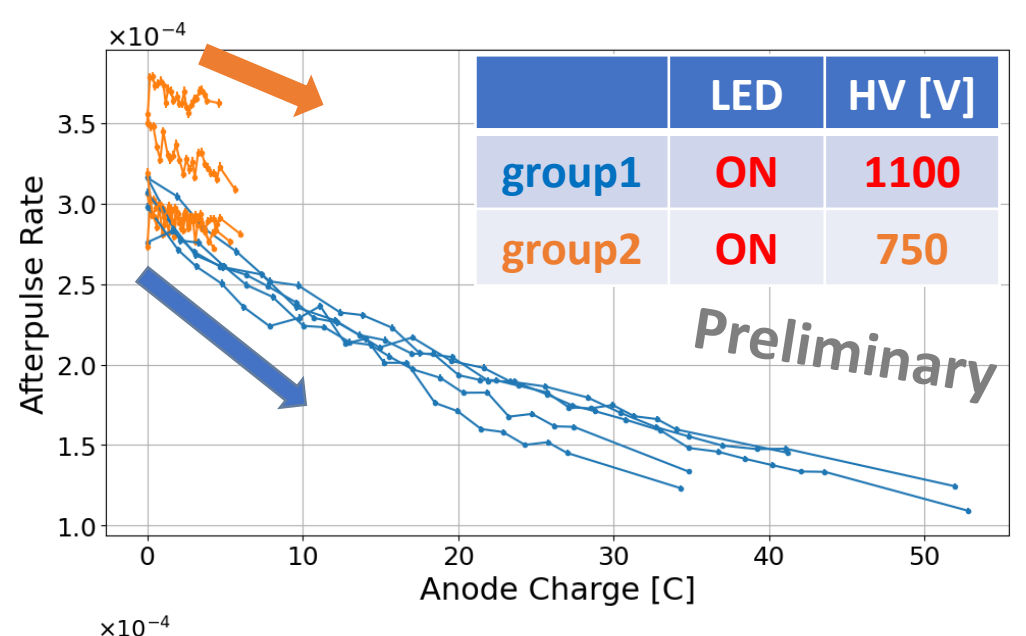
PMTの平均ゲイン

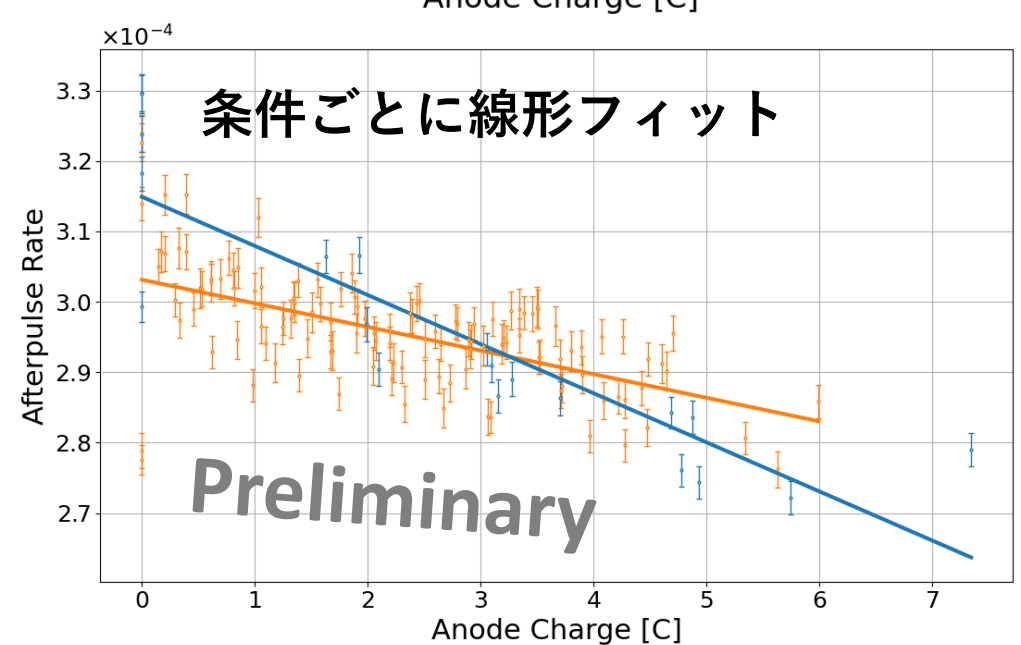
1100 V: $\sim 2.7 \times 10^4$

750 V : $\sim 2.3 \times 10^3$

■ LED ON, HV 1100 V のPMTのみ明らかに減少→APの減少はカソードで生成された光電子の数が原因ではない

結果4 アフターパルス発生確率 vs 積算アノード電流





■ LED ON, HV 750 V のPMTも1100 V と同様の減少傾向が見られる

→APの減少はアノード電流に大きく依存



■ 条件ごとに線形フィット (1100 V は初めの4点のみ)

$$AP = \mathbf{a} \times Q + b$$
 $\mathbf{a} \dots [1/C], \ Q \dots [C]$

1100 V :
$$\boldsymbol{a} = (-6.97 \pm 0.25) \times 10^{-6}$$

750 V :
$$\boldsymbol{a} = (-3.35 \pm 0.16) \times 10^{-6}$$

750 V は**1100 V**の半分程度の減少量 →電子が持つエネルギーの違いが原因か

議論 アフターパルス減少の仕組み

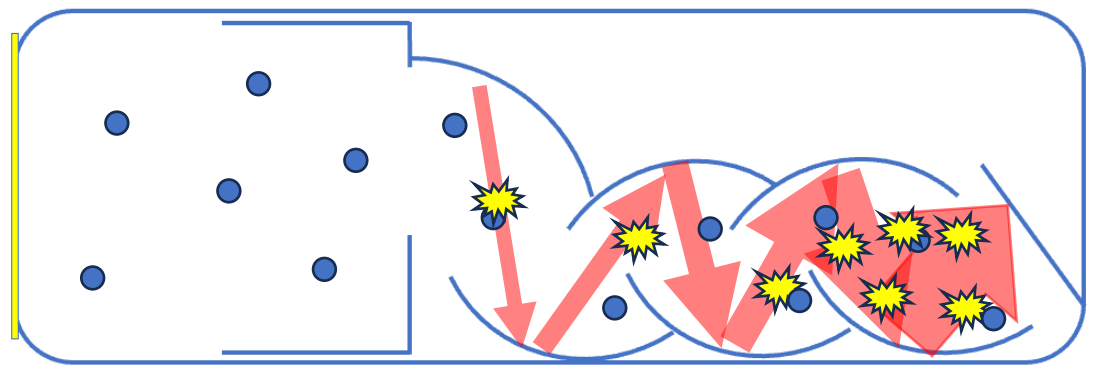
Points

- 結果4:AP発生確率はHVによらずアノード電荷の増加とともに減少 →残留ガスのイオン化はPMT後段で発生
- 結果1:AP測定時のHVによって発生確率は大きく変わらない →後段で発生した陽イオンの多くはアフターパルスとして現れない

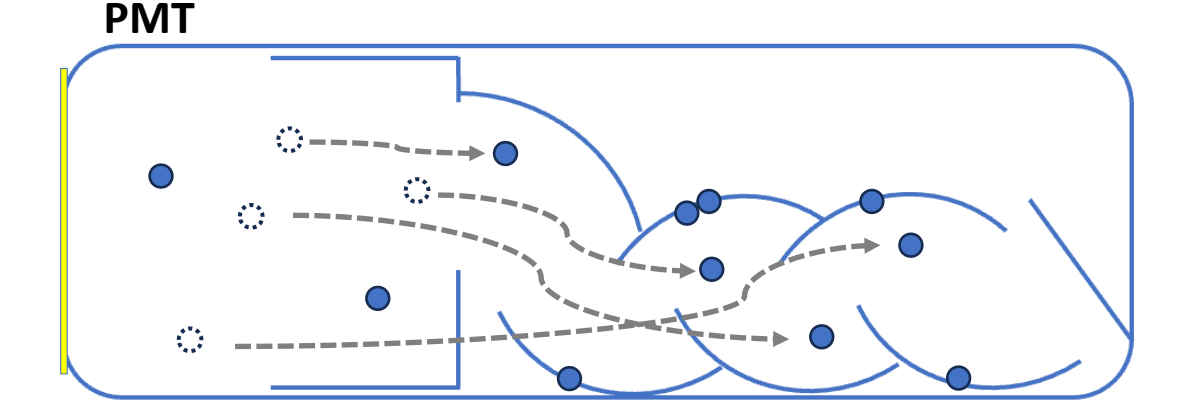
■ アフターパルス減少メカニズム

- ① 主に**後段ダイノードでイオン化**が発生し、後段の残留ガス減少
- ② 発生したイオンはダイノードに付着
- ③ PMT前方の残留ガスが拡散
- ④ 前方のガス減少により**アフターパルス発生確率減少**

PMT







まとめ

- ■アフターパルスの減少には光照射とHV印加による残留ガスのイオン化が必要ただ、HVによって差が大きい
- 積算アノード電流 30 C で、発生確率は要求値以下まで減少
- ■残留ガスの減少は主にPMT後段でのイオン化が寄与
- ■後段で発生した陽イオンはアフターパルスとして現れにくい

展望

■今回と異なるHVを使った長期測定によりアノード電流依存性を確認